

## Darstellung und Dehydratisierung von (*1R,2S,3R,4S*)- *2-endo,3-endo*-Dialkyl- bzw. -Diaryl-*2-exo,3-exo*-bornandiolen

Franz Dallacker\*, Manfred Erkens und Sari Kusumawati

Institut für Organische Chemie der Technischen Hochschule Aachen,  
Prof.-Pirlet-Str. 1, D-5100 Aachen

Eingegangen am 9. Januar 1978

Durch Reaktion von (–)(*1R,2S,4S*)-*2-exo*-Hydroxy-*2-endo*-methyl-3-bornanon (3) bzw. -ethyl-3-bornanon (7) mit Ethyl- oder homologen Alkylmagnesiumhalogeniden entstehen nur die Glycole 4 und 8. Ethyl-, Butyl- und Isobutyl- sowie Phenyl- und *p*-Tolyllithium führen zu den (*1R,2S,3R,4S*)-*3-endo*-Ethyl- (10), -Butyl- (12), -Isobutyl- (14), -Phenyl- (16) bzw. -*p*-Tolyl-*2-endo*-methyl-*2-exo,3-exo*-bornandiolen (18). Die Behandlung von (*1R,4S*)-2,3-Bornandion mit Ethyl-, Propyl-, Butyl-, Isobutyl-, Phenyl- und *p*-Tolyllithium ergibt die (*1R,2S,3R,4S*)-*2-endo,3-endo*-Dialkyl- bzw. -Diaryl-*2-exo,3-exo*-bornanediole 20, 22, 24, 26, 28 und 30. Die *cis*-Konfiguration der Glycole wurde durch die Bildung der Carbonate bewiesen. Die Bornanediole 20, 22 und 24 wurden einer durch *p*-Toluolsulfinsäure katalysierten Dehydratisierung unterworfen. Dabei entstanden Gemische der (*1S,4R*)-*2,3*-Dialkyldienbornane 32–34 und der homologen Ketone 35–37.

### Preparation and Dehydration of (*1R,2S,3R,4S*)-*2-endo,3-endo*-Dialkyl- and -Diaryl-*2-exo,3-exo*-bornanediols

Reaction of (–)(*1R,2S,4S*)-*2-exo*-hydroxy-*2-endo*-methyl-3-bornanon (3) or -ethyl-3-bornanon (7) with ethyl- or homologous alkylmagnesium halides yields only the glycols 4 and 8. Ethyl-, butyl-, isobutyl-, phenyl- and *p*-tolyllithium give (*1R,2S,3R,4S*)-*3-endo*-ethyl- (10), -butyl- (12), -isobutyl- (14), -phenyl- (16), and -*p*-tolyl-*2-endo*-methyl-*2-exo,3-exo*-bornanediol (18). Treatment of (*1R,4S*)-2,3-bornanedione with ethyl-, propyl-, butyl-, isobutyl-, phenyl-, and *p*-tolyllithium yields the (*1R,2S,3R,4S*)-*2-endo,3-endo*-dialkyl- and -diaryl-*2-exo,3-exo*-bornanediols 20, 22, 24, 26, 28, and 30. The *cis*-configuration of the glycols is verified by formation of the carbonates. By dehydration of the bornanediols 20, 22, and 24, catalyzed by *p*-toluenesulfonic acid, mixtures of the (*1S,4R*)-*2,3*-dialkyldienbornanes 32–34 and of the homologous ketones 35–37 were obtained.

Um Vorhersagen über die Produktbildung bei der säurekatalysierten Dehydratisierung von *2,3*-Dialkyl-*2,3*-bornandiolen machen zu können, bedarf es zunächst der Darstellung einiger Bornanglycole. Sowohl Bornanglycole mit unterschiedlichen (Typ A) als auch solche mit gleichen Alkyl- bzw. Arylresten (Typ B) wurden dargestellt.

### Bornanglycole vom Typ A

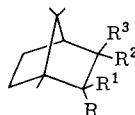
Zur Darstellung der Glycole vom Typ A verwendeten wir (*1R,4S*)-*3,3*-Ethyldioxy-2-bornanon (1), das durch partielle Acetalisierung von (*1R,4S*)-2,3-Bornandion<sup>1)</sup> leicht darstellbar ist<sup>2)</sup>. Die Einwirkung von Methylmagnesiumiodid ergibt das leicht zum Ketol

<sup>1)</sup> F. Dallacker, M. Erkens und C. Knops, Chem. Ber. 111, 3183 (1978), voranstehend.

<sup>2)</sup> K. M. Baker und B. R. Davis, Tetrahedron 24, 1655 (1968).

**3 hydrolysierbare Hydroxyacetal 2.** Aus sterischen Gründen tritt bei Behandlung von **3** mit Ethyl-, n-Propyl- oder n-Butylmagnesiumhalogeniden nur Reduktion zum Glycol **4** ein, dessen OH-Funktionen, wie durch die Carbonatbildung (**5**) nachgewiesen werden kann, *cis*-konfiguriert sind. Ähnlich verhält sich auch das Acetal **6**, das nach Hydrolyse zu **7** mit Ethylmagnesiumbromid das Reduktionsprodukt **8** ergibt. Das Carbonat **9** entsteht ebenfalls glatt. Unter Verwendung der räumlich weniger anspruchsvollen Lithium-Organyle wurden auf analoge Weise aus dem Hydroxyketon **3** die Addukte **12**, **14**, **16**, **18** und deren Carbonate **13**, **15**, **17**, **19** dargestellt.

Tab. 1. Dargestellte Glycole und Carbonate vom Typ B



	C-2		C-3		C-2		C-3	
	R	R <sup>1</sup>	R <sup>3</sup>	R <sup>2</sup>	R	R <sup>1</sup>	R <sup>3</sup>	R <sup>2</sup>
<b>1</b>		=O		O-CH <sub>2</sub> CH <sub>2</sub> -O	<b>11</b>	CH <sub>3</sub>	O-CO-O	C <sub>2</sub> H <sub>5</sub>
<b>2</b>	CH <sub>3</sub>	OH		O-CH <sub>2</sub> CH <sub>2</sub> -O	<b>12</b>	CH <sub>3</sub>	OH	n-C <sub>4</sub> H <sub>9</sub>
<b>3</b>	CH <sub>3</sub>	OH		=O	<b>13</b>	CH <sub>3</sub>	O-CO-O	n-C <sub>4</sub> H <sub>9</sub>
<b>4</b>	CH <sub>3</sub>	OH	OH	H	<b>14</b>	CH <sub>3</sub>	OH	i-C <sub>4</sub> H <sub>9</sub>
<b>5</b>	CH <sub>3</sub>		O-CO-O	H	<b>15</b>	CH <sub>3</sub>	O-CO-O	i-C <sub>4</sub> H <sub>9</sub>
<b>6</b>	C <sub>2</sub> H <sub>5</sub>	OH		O-CH <sub>2</sub> CH <sub>2</sub> -O	<b>16</b>	CH <sub>3</sub>	OH	C <sub>6</sub> H <sub>5</sub>
<b>7</b>	C <sub>2</sub> H <sub>5</sub>	OH		=O	<b>17</b>	CH <sub>3</sub>	O-CO-O	C <sub>6</sub> H <sub>5</sub>
<b>8</b>	C <sub>2</sub> H <sub>5</sub>	OH	OH	H	<b>18</b>	CH <sub>3</sub>	OH	C <sub>6</sub> H <sub>4</sub> CH <sub>3</sub> -( <i>p</i> )
<b>9</b>	C <sub>2</sub> H <sub>5</sub>		O-CO-O	H	<b>19</b>	CH <sub>3</sub>	O-CO-O	C <sub>6</sub> H <sub>4</sub> CH <sub>3</sub> -( <i>p</i> )
<b>10</b>	CH <sub>3</sub>	OH	OH	C <sub>2</sub> H <sub>5</sub>				

### Bornanglycole vom Typ B

Die Behandlung des (1*R*,4*S*)-2,3-Bornandions mit Ethyl-, Propyl-, Butyl- und Isobutyl- sowie mit Phenyl- und *p*-Tolyllithium führt in guten Ausbeuten zu den Glycolen **20**, **22**, **24**, **26**, **28** und **30**. Die *cis*-Konfiguration der OH-Funktionen ließ sich durch die Bildung der Carbonate **21**, **23**, **25**, **27**, **29** und **31** beweisen.

Tab. 2. Bornanglycole und Carbonate vom Typ B

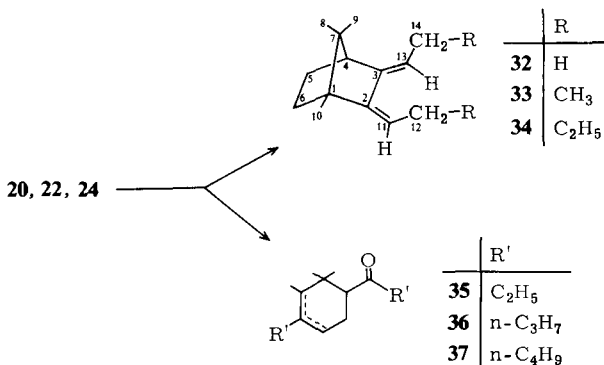
	R	R <sup>1</sup>	R <sup>2</sup>		R	R <sup>1</sup>	R <sup>2</sup>
<b>20</b>	C <sub>2</sub> H <sub>5</sub>	OH	OH	<b>26</b>	i-C <sub>4</sub> H <sub>9</sub>	OH	OH
<b>21</b>	C <sub>2</sub> H <sub>5</sub>	O-CO-O		<b>27</b>	i-C <sub>4</sub> H <sub>9</sub>	O-CO-O	
<b>22</b>	n-C <sub>3</sub> H <sub>7</sub>	OH	OH	<b>28</b>	C <sub>6</sub> H <sub>5</sub>	OH	OH
<b>23</b>	n-C <sub>3</sub> H <sub>7</sub>	O-CO-O		<b>29</b>	C <sub>6</sub> H <sub>5</sub>	O-CO-O	
<b>24</b>	n-C <sub>4</sub> H <sub>9</sub>	OH	OH	<b>30</b>	( <i>p</i> ) - CH <sub>3</sub> C <sub>6</sub> H <sub>4</sub>	OH	OH
<b>25</b>	n-C <sub>4</sub> H <sub>9</sub>	O-CO-O		<b>31</b>	( <i>p</i> ) - CH <sub>3</sub> C <sub>6</sub> H <sub>4</sub>	O-CO-O	

## Dehydratisierung

Unter Verwendung von *p*-Toluolsulfonsäure als Dehydratisierungskatalysator wurden die Glycole **20**, **22** und **24** am Wasserabscheider erhitzt. Während diese Reaktion bei (+)(*1R,2S,3R,4S*)-2-*endo*,3-*endo*-Dimethyl-2-*exo*,3-*exo*-bornadiol bereits nach 8 h beendet war<sup>1)</sup>, dauerte die Dehydratisierung bei den homologen Verbindungen **20**, **22** und **24** 15–20 h. Die destillative Aufarbeitung des Reaktionsproduktes führte zu zwei leicht voneinander trennbaren Fraktionen.

Die 1. Fraktion war praktisch einheitlich. Sie enthielt weder OH- noch CO-Funktionen. Auf Grund von Elementaranalyse und Spektren liegen die Diene **32**–**34** vor.

Die Fraktion 2 bildet ein destillativ nur schwer aufzutrennbares Gemisch von drei nicht-kristallisierenden Komponenten, deren IR-Spektren intensive Carbonyl-Absorptionsbanden aufweisen. Sie bilden keine Semicarbazone. Hier lassen die Elementaranalyse und die spektroskopischen Untersuchungen auf das Vorliegen der homologen Ketone **35**–**37** schließen.



Es entstehen also bei der Dehydratisierung von 2,3-Dialkyl-2,3-bornandiolen sowohl Diene als auch Gemische isomerer Ketone. Über Reaktionen der 2,3-Diarylglycole soll zu einem späteren Zeitpunkt berichtet werden.

Wir danken dem *Fonds der Chemischen Industrie* für die Unterstützung dieser Arbeit.

## Experimenteller Teil

Es wurden die gleichen Geräte wie in Lit.<sup>1)</sup> benutzt.

(+)(*1R,4S*)-3,3-Ethylendioxy-2-bornanon (**1**): Man erhitzt ein Gemisch von 137.6 g (0.828 mol) (*1R,4S*)-2,3-Bornandion<sup>1)</sup>, 57.4 g (0.924 mol) Ethylen glycol, 900 ml Benzol und 4 g *p*-Toluolsulfonsäure 30 h am Wasserabscheider, wäscht mit NaHCO<sub>3</sub>-Lösung neutral und trocknet über K<sub>2</sub>CO<sub>3</sub>. Aus Wasser/Methanol (1:1) 80 g (46%) farblose Kristalle, Schmp. 86°C (Lit.<sup>2)</sup> 81.5°C, [α]<sub>D</sub><sup>25</sup> = 60.40° (c = 1.02 in Ethanol).

(*IR,2S,4S*)-2-*endo*-Methyl-3,3-ethylendioxy-2-*exo*-bornanol (**2**) und (−)(*1R,2S,4S*)-2-*exo*-Hydroxy-2-*endo*-methyl-3-bornanon (**3**): Zu einer Lösung von 45 g (1.85 mol) Mg, 282 g (19.8 mol) Methyliodid und 500 ml Ether tropft man 105 g (0.5 mol) **1**, gelöst in 500 ml Ether. Nach 3 stdg. Erhitzen unter Rückfluß wird in 1.5 Liter Eis/Wasser, das 300 g NH<sub>4</sub>Cl enthält, gegossen. Die

Ether-Phase wird neutral gewaschen und über  $K_2CO_3$  getrocknet. Den öligen Rückstand (**2**) erhitzt man zusammen mit 450 ml Ethanol und 650 ml ca. 3 N HCl 1 h unter Rückfluß, extrahiert mit Ether, wäscht den Extrakt neutral und trocknet über  $MgSO_4$ . Aus Petrolether 60 g (66%) farblose Kristalle, Schmp. 197°C (Lit.<sup>2)</sup> 190–190.5°C),  $[\alpha]_D^{25} = -117.8^\circ$  (c = 1.01 in Ethanol). – IR (KBr): 1730 (C=O), 3400 cm<sup>-1</sup> (OH). – <sup>1</sup>H-NMR (CCl<sub>4</sub>):  $\delta$  = 2.95 (s, OH), 2.28–1.35 (m, CH<sub>2</sub> und CH), 1.18 (s, CH<sub>3</sub>), 1.09 (s, CH<sub>3</sub>), 0.97 (s, 2 CH<sub>3</sub>).

(–)(*1R,2S,3R,4S*)-2-endo-Methyl-2-exo,3-exo-bornandiol (**4**): Man versetzt 25 g (1.03 mol) Mg, 200 ml Ether und 137 g n-Butylbromid mit 46 g (0.25 mol) **3** in 250 ml Benzol, erhitzt 3 h unter Rückfluß und 15 h bei Raumtemp., hydrolysiert anschließend, wäscht die Ether-Phase neutral und trocknet über  $K_2CO_3$ . Das bei 110°C und 12 Torr sublimierte Produkt wird aus n-Hexan umkristallisiert. 28 g farblose Kristalle, Schmp. 213°C.  $[\alpha]_D^{25} = -9.36^\circ$  (c = 1.01 in Methanol).

IR (KBr): 3300 cm<sup>-1</sup> (OH). – <sup>1</sup>H-NMR (CCl<sub>4</sub>):  $\delta$  = 3.32 (s, 1H), 2.9 (s, 2H, mit D<sub>2</sub>O austauschbar), 1.87–1.00 (m, 5H), 1.16 (s, CH<sub>3</sub>), 1.1 (s, CH<sub>3</sub>), 0.82 (s, CH<sub>3</sub>), 0.80 (s, CH<sub>3</sub>).

$C_{11}H_{20}O_2$  (184.3) Ber. C 71.69 H 10.94

Gef. C 71.77 H 10.97 Molmasse 183.1 (kryoskop. in Methanol)

Verwendet man Ethyl- oder n-Propylmagnesiumbromid an Stelle von n-Butylmagnesiumbromid, so erhält man ebenfalls nur **4**.

Vorschrift zur Darstellung der (*1R,2S,3R,4S*)-2-exo,3-exo-Carbonyldioxybornane **5**, **9**, **11**, **13**, **15**, **17**, **19**, **21**, **23**, **25**, **27**, **29**, **31**: Man versetzt eine auf 90°C erwärmte Lösung von 0.05 mol Bornandiol in 14.17 g (0.12 mol) Diethylcarbonat portionsweise mit 0.115 g (0.5 mol) Na. Beim Erwärmen des Heizbades auf ca. 150°C destilliert das entstehende Ethanol über eine Vigreux-Kolonne ab. Man extrahiert mit Benzol, wäscht den Extrakt mit Wasser, extrahiert die Waschwasser erneut mit Benzol und trocknet die vereinigten Extrakte über  $MgSO_4$ . Durch Umkristallisieren aus n-Hexan entstehen farblose Kristalle.

(*1R,2S,3R,4S*)-2-exo,3-exo-Carbonyldioxy-2-endo-methylbornan (**5**): Ausb. 9.0 g (86%), Schmp. 183–184°C,  $[\alpha]_D^{25} = -2.08^\circ$  (c = 0.63 in Ethanol). – IR (CHCl<sub>3</sub>): 1775 cm<sup>-1</sup> (–O–CO–O–). – <sup>1</sup>H-NMR (CCl<sub>4</sub>):  $\delta$  = 0.96 (s, CH<sub>3</sub>), 0.98 (s, CH<sub>3</sub>), 1.07 (s, CH<sub>3</sub>), 1.46 (s, CH<sub>3</sub>), 0.8–2.16 (m, 5H), 4.08 (s, 1H).

$C_{12}H_{18}O_3$  (210.3) Ber. C 68.53 H 8.63 Gef. C 68.68 H 8.71

(*1R,2S,3R,4S*)-2-exo,3-exo-Carbonyldioxy-2-endo-ethylbornan (**9**): Ausb. 9.4 g (84%), Schmp. 76°C,  $[\alpha]_D^{25} = +6.33^\circ$  (c = 0.62 in Ethanol). – IR (CHCl<sub>3</sub>): 1775 cm<sup>-1</sup> (–O–CO–O–). – <sup>1</sup>H-NMR (CCl<sub>4</sub>):  $\delta$  = 0.99 (s, 2CH<sub>3</sub>), 1.11 (s, CH<sub>3</sub>), 0.8–2.2 (m, 10H), 4.15 (s, 1H).

$C_{13}H_{20}O_3$  (224.3) Ber. C 69.13 H 8.99 Gef. C 69.84 H 9.06

(*1R,2S,3R,4S*)-2-exo,3-exo-Carbonyldioxy-3-endo-ethyl-2-endo-methylbornan (**11**): Ausb. 10.3 g (86%), Schmp. 108°C (n-Pentan),  $[\alpha]_D^{25} = -32.42^\circ$  (c = 0.61 in Ethanol). – IR (CHCl<sub>3</sub>): 1780 cm<sup>-1</sup> (–O–CO–O–). – <sup>1</sup>H-NMR (CCl<sub>4</sub>):  $\delta$  = 1.00 (s, 2CH<sub>3</sub>), 1.17 (s, CH<sub>3</sub>), 1.36 (s, CH<sub>3</sub>), 0.7–2.23 (m, 10H).

(*1R,2S,3R,4S*)-3-endo-Butyl-2-exo,3-exo-carbonyldioxy-2-endo-methylbornan (**13**): Ausb. 12 g (90%), Schmp. 103–104°C,  $[\alpha]_D^{25} = -30.74^\circ$  (c = 0.62 in Ethanol). – IR (KBr): 1780 cm<sup>-1</sup> (–O–CO–O–). – <sup>1</sup>H-NMR (CCl<sub>4</sub>):  $\delta$  = 0.97 (s, 2CH<sub>3</sub>), 1.15 (s, CH<sub>3</sub>), 0.73–2.17 (m, 14H), 1.36 (s, CH<sub>3</sub>).

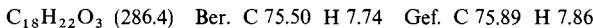
$C_{16}H_{26}O_3$  (266.4) Ber. C 72.14 H 9.83

**13:** Gef. C 72.17 H 9.74

**15:** Gef. C 72.12 H 9.86

(*1R,2S,3R,4S*)-2-*exo*,3-*exo*-Carbonyldioxy-3-*endo*-isobutyl-2-*endo*-methylbornan (**15**): Ausb. 12.2 g (92%), Schmp. 117–118°C,  $[\alpha]_D^{25} = 16.05^\circ$  ( $c = 0.61$  in Ethanol). – IR (CHCl<sub>3</sub>): 1777 cm<sup>-1</sup> (–O–CO–O–). – Das <sup>1</sup>H-NMR-Spektrum besitzt nur wenig Aussagekraft.

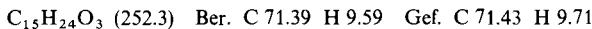
(*1R,2S,3R,4S*)-2-*exo*,3-*exo*-Carbonyldioxy-2-*endo*-methyl-3-*endo*-phenylbornan (**17**): Ausb. 12.5 g (88%), Schmp. 179°C (n-Hexan/Cyclohexan). –  $[\alpha]_D^{25} = 46.24^\circ$  ( $c = 0.62$  in Ethanol). – IR (CHCl<sub>3</sub>): 1775 cm<sup>-1</sup> (–O–CO–O–). – <sup>1</sup>H-NMR (CDCl<sub>3</sub>):  $\delta = 1.01$  (s, CH<sub>3</sub>), 1.04 (s, CH<sub>3</sub>), 1.25 (s, CH<sub>3</sub>), 1.43 (s, CH<sub>3</sub>), 1.13–2.63 (m, 5H), 7.35 (s, 5H).



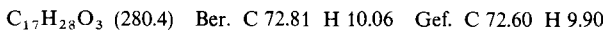
(*1R,2S,3R,4S*)-2-*exo*,3-*exo*-Carbonyldioxy-2-*endo*-methyl-3-*endo*-*p*-tolylbornan (**19**): Ausb. 12.7 g (85%), Schmp. 164–166°C (n-Hexan/Cyclohexan). – IR (CHCl<sub>3</sub>): 1775 cm<sup>-1</sup> (–O–CO–O–). –  $[\alpha]_D^{25} = -48.77^\circ$  ( $c = 0.61$  in Aceton). – <sup>1</sup>H-NMR (CDCl<sub>3</sub>):  $\delta = 1.02$  (s, CH<sub>3</sub>), 1.05 (s, CH<sub>3</sub>), 1.26 (s, CH<sub>3</sub>), 1.36 (s, CH<sub>3</sub>), 2.31 (s, CH<sub>3</sub>), 7.2 (s, 4H).



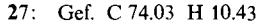
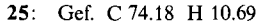
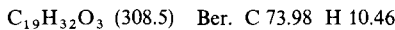
(*1R,2S,3R,4S*)-2-*exo*,3-*exo*-Carbonyldioxy-2-*endo*,3-*endo*-diethylbornan (**21**): Ausb. 10.6 g (84%), Schmp. 133°C,  $[\alpha]_D^{25} = -7.54^\circ$  ( $c = 1.03$  in Ethanol). – IR (KBr): 1760 cm<sup>-1</sup> (–O–CO–O–).



(*1R,2S,3R,4S*)-2-*exo*,3-*exo*-Carbonyldioxy-2-*endo*,3-*endo*-dipropylbornan (**23**): Ausb. 12.4 g (88%), Schmp. 150–151°C. –  $[\alpha]_D^{25} = +5.20^\circ$  ( $c = 1.00$  in Aceton). – IR (KBr): 1767 cm<sup>-1</sup> (–O–CO–O–).

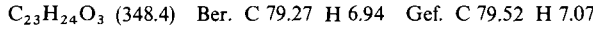


(*1R,2S,3R,4S*)-2-*endo*,3-*endo*-Dibutyl-2-*exo*,3-*exo*-carbonyldioxybornan (**25**): Ausb. 10 g (65%), Schmp. 78–79°C (n-Pentan),  $[\alpha]_D^{25} = +5.59^\circ$  ( $c = 0.62$  in Ethanol). – IR (CHCl<sub>3</sub>): 1767 cm<sup>-1</sup> (–O–CO–O–).

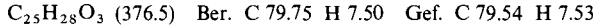


(*1R,2S,3R,4S*)-2-*exo*,3-*exo*-Carbonyldioxy-2-*endo*,3-*endo*-diisobutylbornan (**27**): Ausb. 12.5 g (81%), Schmp. 145–146°C,  $[\alpha]_D^{25} = +14.67^\circ$  ( $c = 0.61$  in Ethanol). – IR (CHCl<sub>3</sub>): 1770 cm<sup>-1</sup> (–O–CO–O–).

(*1R,2S,3R,4S*)-2-*exo*,3-*exo*-Carbonyldioxy-2-*endo*,3-*endo*-diphenylbornan (**29**): Ausb. 12.2 g (70%), Schmp. 203°C,  $[\alpha]_D^{25} = +122.76^\circ$  ( $c = 0.61$  in Aceton). – IR (KBr): 1775 cm<sup>-1</sup> (–O–CO–O–). – <sup>1</sup>H-NMR (CDCl<sub>3</sub>):  $\delta = 0.94$  (s, CH<sub>3</sub>), 1.17 (s, CH<sub>3</sub>), 1.34 (s, CH<sub>3</sub>), 6.7–7.4 (m 10H).



(*1R,2S,3R,4S*)-2-*exo*,3-*exo*-Carbonyldioxy-2-*endo*,3-*endo*-di-*p*-tolylbornan (**31**): Das Ölbad wird bei dieser Reaktion auf 190°C erhitzt. Aufarbeitung wie beschrieben. Ausb. 12.8 g (68%), Schmp. wachsartig, geht ab 90°C allmählich in den flüssigen Zustand über;  $[\alpha]_D^{25} = +44.90^\circ$  ( $c = 0.60$  in Aceton). – IR (CHCl<sub>3</sub>): 1780 cm<sup>-1</sup> (–O–CO–O–).



(*1R,2S,4S*)-2-*endo*-Ethyl-3,3-ethyldioxy-2-*exo*-bornanol (**6**): Zu 8.6 g (1.25 mol) Li, 54.5 g (0.5 mol) Ethylbromid und 400 ml Ether röhrt man eine Lösung von 31.5 g (0.15 mol) **1** und 100 ml absol. Ether, wobei man die Temp. unterhalb von –5°C hält. Das Reaktionsgemisch wird 15 h bei Raumtemp. belassen und anschließend 2 h unter Rückfluß erhitzt. Man trennt das überschüssige Li ab, hydrolysiert mit 250 ml Eis/Wasser, dem man 5 ml verd. Schwefelsäure zugesetzt hatte,

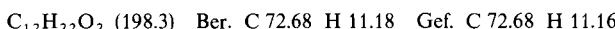
extrahiert mit Ether, wäscht den Extrakt neutral und trocknet über  $\text{MgSO}_4$ . Der Rückstand wird aus n-Pantan umkristallisiert. Ausb. 25.5 g (70%), Schmp. 43–45 °C,  $[\alpha]_D^{25} = +15.79^\circ$  ( $c = 1.01$  in Ethanol). – IR (KBr): 3550  $\text{cm}^{-1}$  (OH). –  $^1\text{H-NMR}$  ( $\text{CCl}_4$ ):  $\delta = 0.78$  (s, 2  $\text{CH}_3$ ), 1.07 (s,  $\text{CH}_3$ ), 0.6–1.76 (m, 10 H), 2.3 (s, OH, mit  $\text{D}_2\text{O}$  austauschbar), 3.7–4.0 (m,  $\text{OCH}_2\text{CH}_2\text{O}$ ).



(*1R,2S,4S*)-2-endo-Ethyl-2-exo-hydroxy-3-bornanon (7): 15.0 g (0.062 mol) 6, 130 ml Ethanol und 195 ml 3 N HCl werden 1 h unter Rückfluß erhitzt. Man extrahiert mit Ether, wäscht den Extrakt neutral und trocknet über  $\text{MgSO}_4$ . 9.8 g (80%) farblose Kristalle, Schmp. 62–63.5 °C (Petrolether). – IR (KBr): 3440 (OH), 1740  $\text{cm}^{-1}$  (C=O).

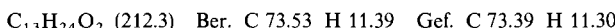


(*1R,2S,3R,4S*)-2-endo-Ethyl-2-exo,3-exo-bornandiol (8): Wie bei 4 beschrieben, werden 9.8 g (0.05 mol) 7 mit Ethylmagnesiumbromid, dargestellt aus 0.2 mol Mg und 0.2 mol Ethylbromid, umgesetzt. 5.0 g (60%) farblose Substanz, Schmp. 101–102 °C (n-Hexan),  $[\alpha]_D^{25} = -6.90^\circ$  ( $c = 1.00$  in Ethanol). – IR (KBr): 3300  $\text{cm}^{-1}$  (OH). –  $^1\text{H-NMR}$  ( $\text{CCl}_4$ ):  $\delta = 0.81$  (s,  $\text{CH}_3$ ), 0.85 (s,  $\text{CH}_3$ ), 1.15 (s,  $\text{CH}_3$ ), 0.6–1.8 (m, 10 H), 2.7 (s, OH, mit  $\text{D}_2\text{O}$  austauschbar), 3.40 (s, 1 H + OH, mit  $\text{D}_2\text{O}$  austauschbar).

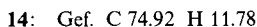
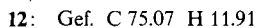


*Vorschrift zur Darstellung der 3-Alkyl- bzw. 3-Aryl-2-methylbornandiole:* Man versetzt unter  $\text{N}_2$  11.1 g (1.6 mol) Li und 300 ml Ether bei –10 °C tropfenweise mit 0.66 mol Alkylbromid, gelöst in 150 ml Ether. Anschließend tropft man eine Lösung von 27.3 g (0.15 mol) 3 in 100 ml Ether so zu, daß die Temp. von –5 °C nicht überschritten wird. Nach 15 stdg. Stehenlassen bei Raumtemp. erhitzt man 2 h unter Rückfluß, trennt das überschüss. Li ab und setzt 250 g Eis/Wasser, dem man 5 ml verd. Schwefelsäure zugefügt hat, zu. Die neutrale Ether-Phase trocknet man über  $\text{MgSO}_4$ . Der Rückstand wird sublimiert oder umkristallisiert.

(*1R,2S,3R,4S*)-3-endo-Ethyl-2-endo-methyl-2-exo,3-exo-bornandiol (10): 18 g (56%) farblose Substanz, Schmp. 69–70 °C (n-Hexan),  $[\alpha]_D^{25} = -9.74^\circ$  ( $c = 1.01$  in Methanol). – IR (KBr): 3330  $\text{cm}^{-1}$  (OH). –  $^1\text{H-NMR}$  ( $\text{CCl}_4$ ):  $\delta = 0.85$  (s, 2  $\text{CH}_3$ ), 1.13 (s,  $\text{CH}_3$ ), 1.25 (s,  $\text{CH}_3$ ), 0.7–2.0 (m, 10 H), 3.4 (s, 2 OH, mit  $\text{D}_2\text{O}$  austauschbar).



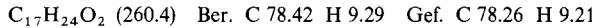
(*1R,2S,3R,4S*)-3-endo-Butyl-2-endo-methyl-2-exo,3-exo-bornandiol (12): Man erhitzt das Reaktionsgemisch 4 h unter Rückfluß. Ausb. 22.4 g (62%), Schmp. 80 °C (n-Pantan),  $[\alpha]_D^{25} = -9.75^\circ$  ( $c = 1.00$  in Methanol). – IR (KBr): 3200–3600  $\text{cm}^{-1}$  (OH). –  $^1\text{H-NMR}$  ( $\text{CCl}_4$ ):  $\delta = 0.84$  (s, 2  $\text{CH}_3$ ), 1.13 (s,  $\text{CH}_3$ ), 1.24 (s,  $\text{CH}_3$ ), 0.7–1.8 (m, 14 H), 3.6 (s, 2 OH, mit  $\text{D}_2\text{O}$  austauschbar).



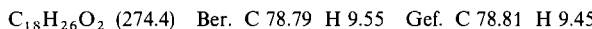
(*1R,2S,3R,4S*)-3-endo-Isobutyl-2-endo-methyl-2-exo,3-exo-bornandiol (14): Man hält die Reaktionstemp. auf –30 bis –40 °C und röhrt weitere 15 h bei dieser Temperatur. Ausb. 29.2 g (81%) farblose Substanz, Schmp. 89 °C (n-Pantan),  $[\alpha]_D^{25} = -16.02^\circ$  ( $c = 0.81$  in Ethanol). – IR (KBr): 3320  $\text{cm}^{-1}$  (OH). –  $^1\text{H-NMR}$  ( $\text{CCl}_4$ ):  $\delta = 0.8$  (s, 2  $\text{CH}_3$ ), 1.06 (s,  $\text{CH}_3$ ), 1.22 (s,  $\text{CH}_3$ ), 0.9–2.0 (m, 14 H), 2.66 (s, 2 OH, mit  $\text{D}_2\text{O}$  austauschbar).

(*1R,2S,3R,4S*)-2-endo-Methyl-3-endo-phenyl-2-exo,3-exo-bornandiol (16): 11.1 g (1.6 mol) Li und 300 ml Ether werden so schnell mit einer Lösung von 103.6 g (0.66 mol) Brombenzol in 200 ml Ether versetzt, daß der Ether unter Rückfluß siedet. Anschließend wird bei Raumtemp. eine Lösung von 27.3 g (0.15 mol) 3 in 100 ml Ether zugetropft. Nach beendeter Zugabe wird 2 h zum Sieden

erhitzt, abgekühlt und wie üblich aufgearbeitet. Der Rückstand wird bei 110°C/0.2 Torr sublimiert und aus n-Hexan umkristallisiert. 19.9 g (51%) farblose Kristalle, Schmp. 153°C (n-Hexan),  $[\alpha]_D^{25} = -1.54^\circ$  ( $c = 1.01$  in Ethanol). — IR (KBr): 3290 cm<sup>-1</sup> (OH). — <sup>1</sup>H-NMR (CCl<sub>4</sub>):  $\delta = 0.84$  (s, CH<sub>3</sub>), 0.9 (s, CH<sub>3</sub>), 1.06 (s, CH<sub>3</sub>), 1.23 (s, CH<sub>3</sub>), 0.7 – 2.3 (m, 5H), 2.26 (s, OH, mit D<sub>2</sub>O austauschbar).

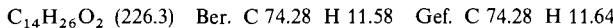


(*1R,2S,3R,4S*)-2-endo-Methyl-3-endo-p-tolyl-2-exo,3-exo-bornandiol (**18**): Man versetzt 152 g (1.2 mol) *p*-Chlortoluol in 400 ml Ether mit 17.3 g (2.5 mol) Li und 300 ml Ether, wie bei **16** beschrieben. Nach beendeter Zugabe erhitzt man 4 h unter Rückfluß und tropft bei Raumtemp. eine Lösung von 30 g (0.16 mol) **3** in 100 ml Ether zu. Man erhitzt erneut 4 h unter Rückfluß, kühlt ab und arbeitet wie beschrieben auf. 16 g (36%) farblose Kristalle, Schmp. 147°C (n-Pantan),  $[\alpha]_D^{25} = +6.48^\circ$  ( $c = 1.00$  in Ethanol). — IR (KBr): 3230 cm<sup>-1</sup> (OH). — <sup>1</sup>H-NMR (CCl<sub>4</sub>):  $\delta = 0.7$  (s, CH<sub>3</sub>), 0.76 (s, CH<sub>3</sub>), 0.9 (s, CH<sub>3</sub>), 2.28 (s, OH, mit D<sub>2</sub>O austauschbar), 3.4 (s, OH, mit D<sub>2</sub>O austauschbar), 6.63 – 7.27 (m, 4H).

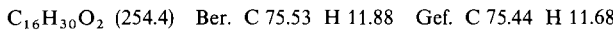


Darstellung der (*1R,2S,3R,4S*)-2-endo,3-endo-Dialkyl-2-exo,3-exo-bornandiole (**20**, **22**, **24**, **26**): Zu einer auf –30 bis –40°C gekühlten Alkyllithium-Lösung, dargestellt aus 20.8 g (3.0 mol) Li und 1.2 mol Alkylbromid in 500 ml Ether, tropft man eine gesättigte benzolische Lösung von 83 g (0.5 mol) (–)(*1R,4S*)-2,3-Bornandion. Anschließend röhrt man 15 h bei –10°C, trennt das überschüssige Li ab und röhrt in 1 Liter Eis/Wasser, dem 5 ml konz. Schwefelsäure zugefügt wurden. Man wäscht die organische Phase neutral und trocknet über MgSO<sub>4</sub>. Der ölige Rückstand wird durch Sublimation oder durch Umkristallisation gereinigt.

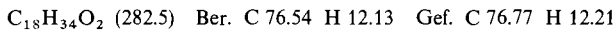
(*1R,2S,3R,4S*)-2-endo,3-endo-Diethyl-2-exo,3-exo-bornandiol (**20**): 42.4 g (37%) farblose Kristalle, Schmp. 97°C (n-Pantan),  $[\alpha]_D^{25} = -1.28^\circ$  ( $c = 1.02$  in Aceton). — IR (KBr): 3333 cm<sup>-1</sup> (OH). — <sup>1</sup>H-NMR (CCl<sub>4</sub>):  $\delta = 2.62$  (s, OH, mit D<sub>2</sub>O austauschbar), 2.40 (s, OH, mit D<sub>2</sub>O austauschbar), 1.23 (s, CH<sub>3</sub>), 0.84 (s, CH<sub>3</sub>), 0.8 (s, CH<sub>3</sub>), 1.2 – 1.7 (m, 10H).



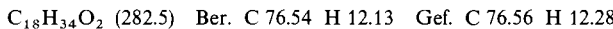
(*1R,2S,3R,4S*)-2-endo,3-endo-Dipropyl-2-exo,3-exo-bornandiol (**22**): 38.3 g (30%) farblose Kristalle, Schmp. 93°C (3 mal aus Aceton);  $[\alpha]_D^{25} = +4.97^\circ$  ( $c = 1.02$  Aceton). — IR (KBr): 3311 cm<sup>-1</sup> (OH). — <sup>1</sup>H-NMR (CDCl<sub>3</sub>):  $\delta = 2.62$  (s, OH, mit D<sub>2</sub>O austauschbar), 2.43 (s, OH, mit D<sub>2</sub>O austauschbar), 0.82 (s, CH<sub>3</sub>), 0.89 (s, CH<sub>3</sub>), 1.2 – 1.7 (m, 14H).



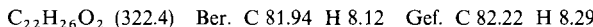
(*1R,2S,3R,4S*)-2-endo,3-endo-Dibutyl-2-exo,3-exo-bornandiol (**24**): Bei der Reaktion tritt neben der Addition auch Reduktion ein. Man entfernt die Reduktionsprodukte durch Sublimation aus dem Rohprodukt und kristallisiert den Rückstand 2 mal aus Aceton um. 36.7 g (26%) farblose Kristalle, Schmp. 61 – 62°C (Aceton),  $[\alpha]_D^{20} = +5.22^\circ$  ( $c = 1.02$  in Aceton). — IR (CHCl<sub>3</sub>): 3448 cm<sup>-1</sup> (OH). — <sup>1</sup>H-NMR (CCl<sub>4</sub>):  $\delta = 2.68$  (s, OH, mit D<sub>2</sub>O austauschbar), 2.52 (s, OH, mit D<sub>2</sub>O austauschbar), 1.28 (s, CH<sub>3</sub>), 0.88 (s, CH<sub>3</sub>), 0.82 (s, CH<sub>3</sub>).



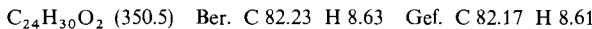
(*1R,2S,3R,4S*)-2-endo,3-endo-Diisobutyl-2-exo,3-exo-bornandiol (**26**): Bei dieser Reaktion wird etwa 25% Reduktionsprodukt gebildet, das durch Sublimation entfernt wurde. 16.2 g (22%) farblose Substanz, Schmp. 46 – 47.5°C (3 mal aus Aceton);  $[\alpha]_D^{20} = -2.71^\circ$  ( $c = 0.81$  in Ethanol). — IR (CHCl<sub>3</sub>): 3470 cm<sup>-1</sup> (OH). — <sup>1</sup>H-NMR (CDCl<sub>3</sub>):  $\delta = 0.91$  (s, CH<sub>3</sub>), 1.01 (s, CH<sub>3</sub>), 1.29 (s, CH<sub>3</sub>), 2.6 (s, 2OH, mit D<sub>2</sub>O austauschbar).



*(1R,2S,3R,4S)-2-endo,3-endo-Diphenyl-2-exo,3-exo-bornandiol (28)*: Analog **16** werden 47.4 g (0.28 mol) *(1R,4S)-2,3-Bornandion* in 200 ml Ether mit Phenyllithium, dargestellt aus 17.3 g (2.5 mol) Lithium und 188.4 g (1.2 mol) Brombenzol in 600 ml Ether, umgesetzt. Nach zweimaligem Umkristallisieren aus Cyclohexan/n-Hexan (1:1) 70 g (76%) farblose Kristalle, Schmp. 161–163 °C,  $[\alpha]_D^{25} = +161.18^\circ$  ( $c = 0.80$  in Ethanol). – IR (KBr): 3380 cm<sup>-1</sup> (OH). – <sup>1</sup>H-NMR (CDCl<sub>3</sub>):  $\delta = 0.8$  (s, CH<sub>3</sub>), 1.03 (s, CH<sub>3</sub>), 1.48 (s, CH<sub>3</sub>), 2.53 (s, OH, mit D<sub>2</sub>O austauschbar), 4.6 (s, OH, mit D<sub>2</sub>O austauschbar), 6.64–7.32 (m, 10H).



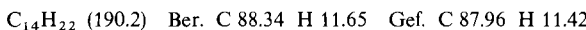
*(1R,2S,3R,4S)-2-endo,3-endo-Di-p-tolyl-2-exo,3-exo-bornandiol (30)*: Darstellung wie bei **18** beschrieben aus 33.2 g (0.2 mol) *(1R,4S)-2,3-Bornandion* in 200 ml Ether, das man mit einer Lösung von 17.3 g (2.5 mol) Li und 152 g (1.2 mol) *p*-Chlortoluol in 600 ml Ether behandelt. Aus dem als gelbe Masse anfallenden Rohprodukt entfernt man unter verminderter Druck die letzten Spuren *p*-Chlortoluol und reinigt, indem man in Methanol/Wasser (1:1) löst und auf –20 °C kühlst. Nach Trocknen im Vakuum-Exsikkator erhält man 22 g (33%) wachsartige Substanz, Schmp. unscharf ab 65 °C.  $[\alpha]_D^{25} = +62.16^\circ$  ( $c = 0.81$  in Ethanol). – IR (CHCl<sub>3</sub>): 3460 cm<sup>-1</sup> (OH). – <sup>1</sup>H-NMR (CDCl<sub>3</sub>):  $\delta = 2.20$  (s, Ar-CH<sub>3</sub>), 2.33 (s, Ar-CH<sub>3</sub>), 6.6–7.6 (m, 8H).



*Vorschrift zur Dehydratisierung der (1R,2S,3R,4S)-2-endo,3-endo-Dialkyl-2-exo,3-exo-bornandiole 20, 22, 24*: Man erhitzt ein Gemisch von 0.1 mol Bornandiol **20**, **22** oder **24**, 200 ml Benzol und 2 g *p*-Toluolsulfosäure 20 h am Wasserabscheider, nimmt in Ether auf, wäscht neutral und trocknet über MgSO<sub>4</sub>. Den ölichen Rückstand fraktioniert man mit Hilfe einer beheizbaren Kolonne.

*(1S,4R)-2,3-Diethylidenbornan (32) und Ethyl[(1S)-4-ethyl-2,2,3-trimethyl-3- bzw. -4-cyclohexen-1-yl]keton (35)*: Aus 22.6 g (0.1 mol) **20** werden erhalten:

*Fraktion 1 (32)*: 6.2 g (33%) farbloses Öl, Sdp. 49 °C/0.4 Torr,  $[\alpha]_D^{20} = +26.49^\circ$  ( $c = 1.1$  in Ethanol). – IR (kapillar): 824 (=CH), 3058 cm<sup>-1</sup> (C=C–H). – <sup>1</sup>H-NMR (CCl<sub>4</sub>):  $\delta = 5.62$  (q,  $J = 7$  Hz, 1H), 5.19 (q,  $J = 7$  Hz, 1H), 2.5 (d,  $J = 3.5$  Hz, 1H), 1.81 (d,  $J = 2$  Hz, CH<sub>3</sub>), 1.70 (d,  $J = 2$  Hz, CH<sub>3</sub>), 1.6–1.1 (m, 4H), 0.9 (s, CH<sub>3</sub>), 0.88 (s, CH<sub>3</sub>), 0.7 (s, CH<sub>3</sub>). – MS (70 eV):  $m/e = 190$  (100%, M<sup>+</sup>), 175 (93.7), 161 (34.8), 147 (76.6), 133 (45.6), 119 (71.5), 105 (59.5). – <sup>13</sup>C-NMR (CDCl<sub>3</sub>):  $\delta = 147.91$  (C-2), 146.63 (C-3), 116.84 (C-11), 111.52 (C-13), 52.49 (C-1), 50.29 (C-4), 47.02 (C-7), 35.00 (C-6), 26.59 (C-5), 20.11 (C-8), 18.62 (C-9), 14.83 (C-12 und C-14), 13.04 (C-10).



*Fraktion 2 (35)*: 7.8 g (38%) farbloses Öl, Sdp. 70 °C/0.4 Torr. – IR (kapillar): 1700 (C=O), 1362 cm<sup>-1</sup> (CO–CH<sub>2</sub>). – <sup>1</sup>H-NMR (CCl<sub>4</sub>):  $\delta = 5.21$  (m, 1H), 2.19 (q,  $J = 7$  Hz, 2H), 1.0 (s, CH<sub>3</sub>), 0.9 (s, CH<sub>3</sub>), 0.86 (s, CH<sub>3</sub>). Es sind zwei verschiedene GC/MS-Spektren erhältlich: GC/MS I (70 eV):  $m/e = 208$  (M<sup>+</sup>, 70%), 193 (28.3), 179 (25), 165 (31.6), 151 (48.3), 135 (33.3), 121 (45), 107 (35), 109 (48.5), 57 (100). II:  $m/e = 208$  (M<sup>+</sup>, 40%), 193 (8.3), 179 (20), 165 (11.6), 151 (51.6), 135 (18.3), 113 (60), 96 (100).

*(1S,4R)-2,3-Dipropylidenbornan (33) und Propyl[(1S)-4-propyl-2,2,3-trimethyl-3- bzw. -4-cyclohexen-1-yl]keton (36)*: Aus 25.4 g (0.1 mol) **22** erhielten wir:

*Fraktion 1 (33)*: 5.3 g (24%) farbloses Öl, Sdp. 75 °C/0.3 Torr,  $[\alpha]_D^{20} = +81.15^\circ$  ( $c = 1.10$  in Ethanol). – IR (kapillar): 3021 (C=CH), 959 cm<sup>-1</sup> (C=CH). – <sup>1</sup>H-NMR (CCl<sub>4</sub>):  $\delta = 6.1$ –4.8 (breites m, 2H), 2.32 (m, 1H), 0.98 (s, CH<sub>3</sub>), 0.88 (s, CH<sub>3</sub>), 0.76 (s, CH<sub>3</sub>).



*Fraktion 2 (36)*: 6.5 g (28%) farbloses Öl, Sdp. 86 °C/0.2 Torr. – IR (kapillar): 1697 (C=O), 1362 cm<sup>-1</sup> (CO–CH<sub>2</sub>). – <sup>1</sup>H-NMR (CCl<sub>4</sub>):  $\delta = 5.1$  (m, 1H), 2.15 (m, 2H), 0.95 (s, CH<sub>3</sub>), 0.9 (s, CH<sub>3</sub>), 0.86 (s, CH<sub>3</sub>).

(*1S,4R*)-2,3-Dibutylidenbornan (**34**) und Butyl/[*(1S*)-4-butyl-2,2,3-trimethyl-3- bzw. -4-cyclohexen-1-yl]keton (**37**): Aus 28.2 g (0.1 mol) **24** erhielten wir:

*Fraktion 1* (**34**): 4.0 g (18%) farbloses Öl, Sdp. 107 °C/1 Torr,  $[\alpha]_D^{20} = +51.51^\circ$  ( $c = 1.06$  in Ethanol). — IR (kapillar): 3021 (C=CH), 957 cm<sup>-1</sup> (C=CH). — GC/MS (70 eV):  $m/e = 246$  ( $M^+$ , 26.6%), 231 (18.3), 218 (64.4), 217 (66.5), 203 (44.3), 189 (42), 175 (64), 161 (65), 147 (69), 133 (60), 119 (76), 105 (100).

$C_{18}H_{30}$  (246.4) Ber. C 87.73 H 12.27 Gef. C 87.45 H 12.31

*Fraktion 2* (**37**): Farbloses Öl, 6.9 g (26%), Sdp. 130 °C/1 Torr. — IR (kapillar): 1698 (C=O), 1360 cm<sup>-1</sup> (CO—CH<sub>2</sub>). — MS (70 eV):  $m/e = 264$  ( $M^+$ , 13%), 249 (9), 221 (11), 207 (16), 193 (7), 179 (28), 163 (16), 149 (10), 137 (20), 121 (29), 95 (31), 85 (100).

$C_{18}H_{32}O$  (264.4) Ber. C 81.76 H 12.20 Gef. C 81.48 H 12.12

[7/78]